

## 카오린으로부터 $\text{Al}_2\text{O}_3$ 의 용출에 관한 연구

백용혁 · 이종근  
한양대 무기재료공학과  
(1982년 3월 18일 접수)

## A Study on the Extraction of Alumina from Kaolin

Yong-Hyuck Baik and Chong-Keun Lee  
Dept. of Inorganic Materials Eng., Hanyang Univ,  
(Received March 18, 1982)

### ABSTRACT

The possibility of extraction of alumina from domestic Ha-dong kaolin was studied by sulfuric acid treatment. Raw kaolin was calcined at various temperature (500–1100°C) and calcined kaolin were treated with sulfuric acid.

The tendency of extraction yield of alpha alumina have been investigated by relating reaction time, temperature, and acid concentration. After reaction, precipitates were analyzed by DTA, TGA, and identified the alpha alumina by X-ray diffractometer with calcined sample at 1200°C.

The results were as follows;

1. The optimum calcination temperature was 800–860°C.
2. The most suitable extracting conditions of alpha alumina were 40 wt%  $\text{H}_2\text{SO}_4$ , 2–3 hours acid-treating time and 80°C acid-treating temperature.
3. Precipitates were composed of  $(\text{NH}_4)_2\text{SO}_4$ ,  $\text{Al}_2\text{SO}_4(\text{OH})_4$ , 5–7  $\text{H}_2\text{O}$  and  $\text{Al}(\text{OH})_3$ .

### 1. 서 론

$\text{Al}_2\text{O}_3$ 는 열충격저항, 기계적강도, 전기적절연성이 우수하며 내화도 및 내식성이 높아 spark-plug, electronic tube, 강유전체<sup>1)</sup> 등의 원료로 사용되고 있다.

a)  $\text{Al}_2\text{O}_3$ 의 제법은 Bauxite를 원료로 한 Bayer 법<sup>2)</sup>을 비롯하여 알루민산 석회법 및 소다석회법<sup>3)</sup> 등이 알려져 있으나 공업적으로 가장 경제적인 방법은 Bayer 법으로 알려져 있다. 그러나 Bauxite의 산출은 전세계적으로 극히 개한된 지역에 국한되어 있으며 날로 그 수급상황이 어려워지기에 따라 Bauxite가 산출되지 않는 우리나라에서도 국내산 알루미늄 협약물을 원료로 하여 Alumina 제조방법에 대한 연구가 일부 진행되고 있으나 평만석(Alunite)을 이용한 것이 대부분이다.

그리나 경남 하동지방 일대에는 Kaolin의 매장량이 많으나 그 질도 우수하여 40~50%의  $\text{Al}_2\text{O}_3$ 를 함유하고 있으므로 본 연구는 이 Kaolin의 열처리 응도에 따른 구조적 변화에 의한 Al ion의 산에 대한 용해성<sup>4)</sup>을 이용하여  $\text{Al}_2\text{O}_3$ 의 제조 가능성을 연구 검토하였다.

### 2. 실험 방법

#### 1. 使用 原料

河東産 kaolin 을 ball mill에서 습식으로 분쇄하여 200mesh 通過分을 시료로 하였으며 그 化學組成, 熱分析(시료 20mg full scale 10mg, 승온속도 10°C/min) 및 X-선회절분석(CuK $\alpha$ , Ni-filter, 35Kv-15mA) 결과를 Table 1 및 Fig.1., Fig.2에 각각 나타내었다.

#### 2. 热處理

Table 1. Chemical composition of raw kaolin.

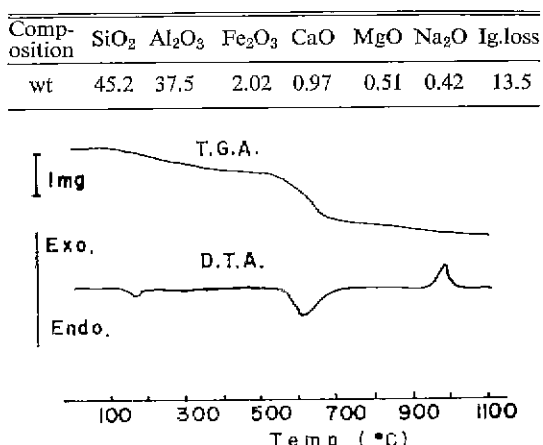


Fig. 1 DTA and TGA curves of Hadong kaolin.

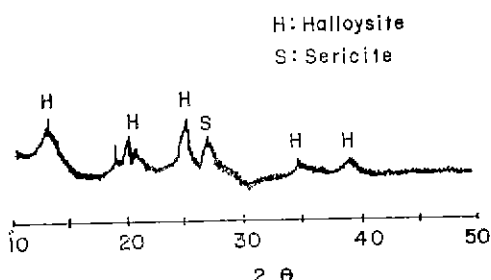


Fig. 2 X-ray diffraction pattern of Hadong kaolin.

시로 kaolin을 500°C에서 60°C 간격으로 1100°C까지 加熱하고 각 온도에서 1시간, 2시간, 4시간 및 10시간씩 유지 시킨 후 爐內에서 자연냉각하여 酸處理 시로로 하였다.

#### 3. 质酸溶液에 의한 溶出

熱處理된 시료를 3g 씩 Alkali 溶出시험기<sup>3)</sup>에 넣고 황산의 농도를 10~50wt%의 범위에서 10% 간격으로 용액을 만들어 각 농도의 용액 100cc를 넣은 후 산처리 시간을 변화시켜면서 산의 농도 및 산처리 시간에 따른 Al<sub>2</sub>O<sub>3</sub> 용출량의 변화를 보았으며 또한 황산의 농도를 40wt%, 산처리 시간을 3시간으로 하고, 산처리 온도를 25°C, 50°C, 60°C, 80°C, 100°C, 까지 변화시켜 산처리 온도에 따른 용출량의 변화를 보았다.

#### 4. Alumina 定量

위에서 산처리가 끝나면 이를 여과하여 잔사와 여액으로 분리하고 각 여액을 methyl red를 지시약으로 NH<sub>4</sub>OH 용액으로 中和적정<sup>6)</sup>한 후 첨전물을 여과하였다. 여과된 첨전물은 磁製도가니에 넣고 전기로에서 1200°C로 1시간 가열한 다음 냉각된 것을秤量하여 첨

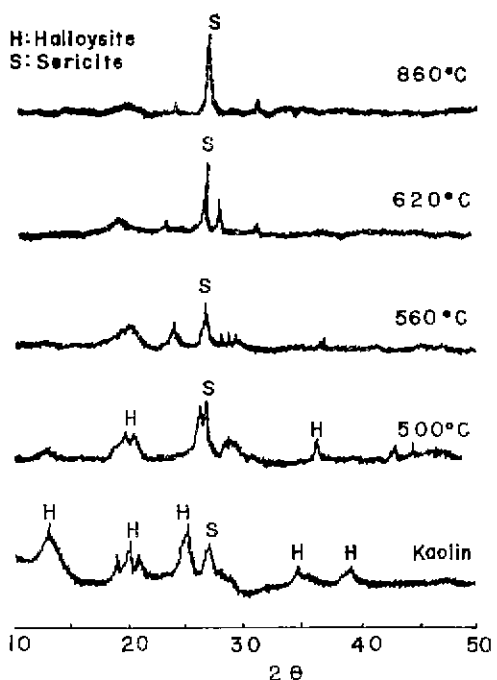


Fig. 3 X-ray diffraction patterns of calcined kaolin at various temperatures.

체시로탕(3g)에 대한 백분율로 용출량을 나타내었으나 X-선회질분석으로  $\alpha$ -Al<sub>2</sub>O<sub>3</sub>임을 확인하였다.

### 3. 결과 및 고찰

#### 1. Kaolin의 하소

각 하소온도에서 10시간 유지시킨 kaolin에 대하여 X-선회질분석한 결과를 Fig. 3에 나타내었다.

Fig. 1~3에서 보임 시료로 사용한 Kaolin은 halloysite가 주광물이며 여기에 소량의 sericite가 불순물로 함유되어 있는 것으로 생각된다. 이 halloysite는 120°C 부근에서 총간수의 일부가 탈수된 후 620°C에서 meta-halloysite로 되며<sup>7)</sup> 860°C, 920°C 까지 계속 하소온도를 상승시켜도 X-선회질분석결과에는 변화가 없었다.

#### 2. 산의 농도 및 산처리시간의 영향

각 온도에서 하소된 시로에 대하여 황산의 농도 및 산처리시간에 따른 Al<sub>2</sub>O<sub>3</sub> 용출량의 변화를 Fig. 4~6에 나타내었다.

이 결과에서 보면 산처리시간이 1시간일 때는 산의 농도에 따른 용출량에 큰 차이가 없었으나 2~3시간으로 산처리시간이 길어짐에 따라 산의 농도차에 따른

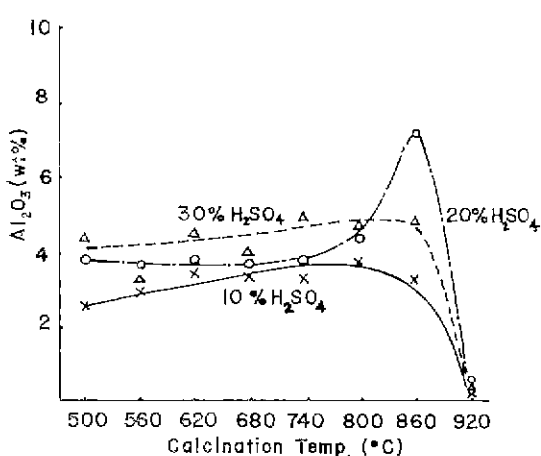


Fig. 4 Amount of extracted  $\text{Al}_2\text{O}_3$  against calcination temperatures and concentrations of  $\text{H}_2\text{SO}_4$ . Acid-treated for 1hour.

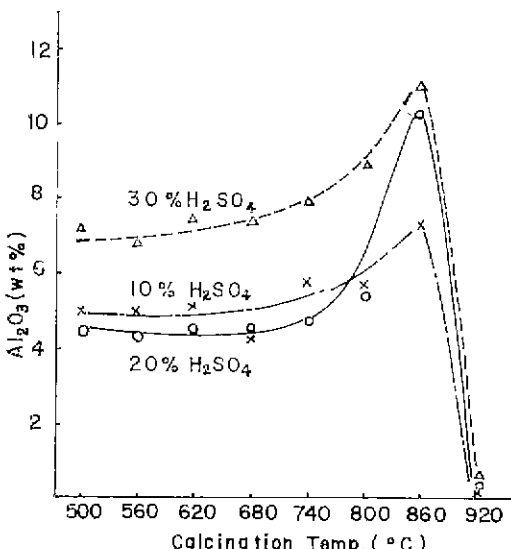


Fig. 5 Amount of extracted  $\text{Al}_2\text{O}_3$  against calcination temperatures and concentrations of  $\text{H}_2\text{SO}_4$ . Duration of acid-treatment, 2hrs.

용출량도 그 차이가 뚜렷해졌다. 즉, 2시간 산처리의 경우는 산의 농도가 10~20%에서는 거의 비슷하였으나 30%에서는 현저한 차이를 나타내었으며 3시간 산처리의 경우에는 산의 농도가 10%에서 20%, 30%로 증가할 때 그에 따라 용출량은 뚜렷한 차이를 나타내고 있다.

또한 하소온도의 영향을 보면 500~800 $^{\circ}\text{C}$  사이에서

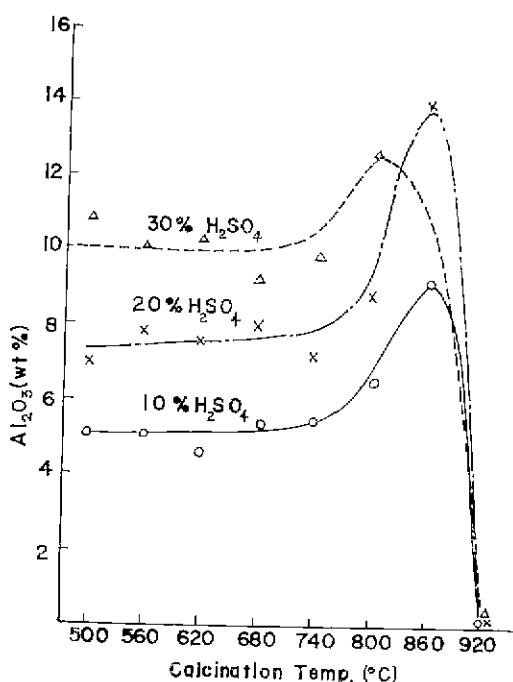


Fig. 6 Amount of extracted  $\text{Al}_2\text{O}_3$  against calcination temperatures and concentrations of  $\text{H}_2\text{SO}_4$ . Duration of acid treatment, 3hrs.

의 용출량은 거의 변화가 없었으나 800~860 $^{\circ}\text{C}$ 에서는 용출량이 급격히 증가되었으며 그 이상으로 하소온도가 상승되면 도리어 급격히 감소되어 거의 용출되지 않고 있다. 이는 halloysite 광물이 620 $^{\circ}\text{C}$ 에서 분해되어 meta-halloysite로 된 후<sup>7,8)</sup> 온도가 더욱 상승되어 800 $^{\circ}\text{C}$ 를 지나게 되면 Spinel로 되어  $\gamma\text{-Al}_2\text{O}_3$ <sup>9)</sup>가 생성되므로 황산에 대한 Al ion의 용해도가 증가되기 때문이라 생각되며 그 이상으로 온도가 상승되면 mullite가生成되기 시작하면서 용출량이 급격히 감소한다고 생각된다.

### 3. 산의 농도 및 하소시간의 영향

Fig. 7은 하소온도 860 $^{\circ}\text{C}$ 에서 1시간, 2시간, 4시간 및 10시간 씩 열처리한 시료에 대하여 산처리 시간을 3시간, 산처리 온도를 50 $^{\circ}\text{C}$ 로 일정하게 하고 청리황산의 농도를 변화시켜 가면서  $\text{Al}_2\text{O}_3$  용출량의 변화를 검토한 것이다. 여기에서 보면 황산의 농도가 40%까지는 용출량이 급격히 증가하나 그 이상으로 되면 도리어 약간 감소하는 경향이 있으나, 860 $^{\circ}\text{C}$ 에서 하소시간의 변화에 따른  $\text{Al}_2\text{O}_3$  용출량의 변화는 큰 차이가 없었다. 이는 시료를 하소 시킬 때 자체도가니에 소량의 시료(약 30g 씩)를 넣어 전기로에서 열처리 하였

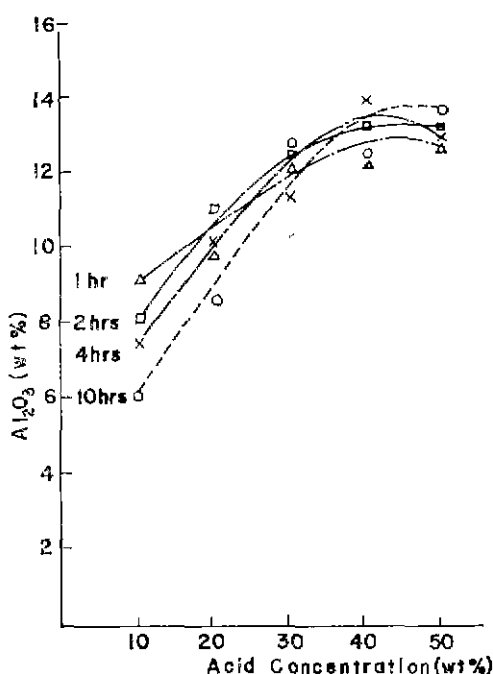


Fig. 7 Amount of extracted  $\text{Al}_2\text{O}_3$  against concentration of  $\text{H}_2\text{SO}_4$  and soaking times at  $860^\circ\text{C}$ .

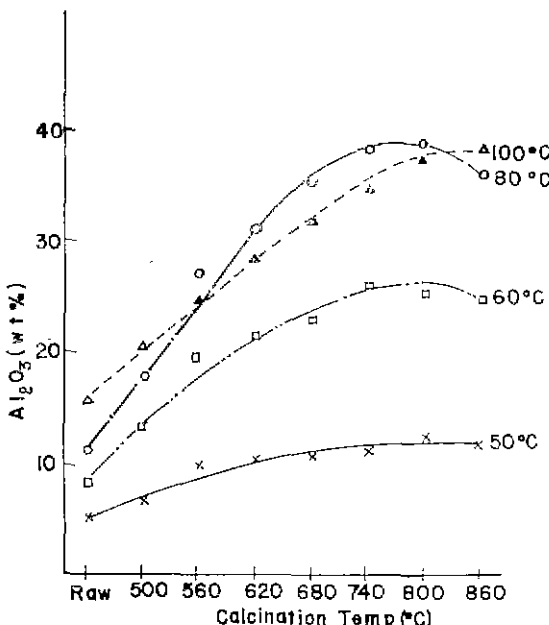


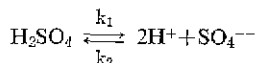
Fig. 8 Amount of extracted  $\text{Al}_2\text{O}_3$  against acid-treating temperatures and calcination temperatures. (Duration of treatment with 40%  $\text{H}_2\text{SO}_4$ , 3hrs.)

으로 하소온도에서의 유지시간 변화에는 큰 영향이 없는 것으로 생각된다.

#### 4. 하소온도 및 산처리 온도의 영향

Fig. 8은 황산의 농도를 40%, 산처리 시간을 3시간, 각 하소온도에서의 유지시간을 2시간으로 하였을 때 산처리 온도에 따른  $\text{Al}_2\text{O}_3$  용출량의 변화를 나타낸 것이다.

여기에서 보면 산처리 온도가  $50^\circ\text{C}$ ,  $60^\circ\text{C}$ ,  $80^\circ\text{C}$ 로 상승 할수록  $\text{Al}_2\text{O}_3$  용출량이 급격히 증가하고 있으나  $80^\circ\text{C}$ 와  $100^\circ\text{C}$ 에서의 차이는 극소하였다. 이는 산이 가열되면 Arrhenius의 解離理論에 따라



에서 평형정수  $K = k_1/k_2$ 로 반응정수를 양호케 하기 위해서는  $K$ 의 값이 커야 한다. 즉 Arrhenius의 解離理論式인

$$K = \frac{4C^2\alpha^3}{1-\alpha} = Ae^{-\Delta E/RT}$$

에 의하여 농도( $C$ )와  $\Delta E$ 가 일정할때 온도를 상승 시켜야  $K$ 의 값이 커지기 때문에 산처리 온도가 상승될수록 용출량이 급격히 증가된 것으로 생각된다.

또한  $80^\circ\text{C}$ 와  $100^\circ\text{C}$ 에서는  $\text{H}_2\text{SO}_4$ 의 온도를 상승되던 해리도는 증가하나  $\text{H}_2\text{SO}_4$ 의 강한 酸化작용(발생기 산소 발생으로 인한)으로 시료중의 AI이  $\text{Al}_2\text{O}_3$ 로自己부동태화 되기 때문에 용해도가 저하되는 것으로 생각된다.

또한  $\text{Al}_2\text{O}_3$  용출량이 가장 양호 하였던 하소온도  $860^\circ\text{C}$ , 황산농도 40%, 산처리온도  $80^\circ\text{C}$ 에서 3시간 반응시킨 후 중화적정하여 얻은 침전물에 대하여 열분석(시료 20mg, full scale 20mg, 승온속도  $10^\circ\text{C}/\text{min}$ ) 및 X-선회질분석을 하고, 침전물을  $1200^\circ\text{C}$ 로 가열한 후 X-선회질분석한 결과를 Fig. 9 및 Fig. 10에 나타내었다.

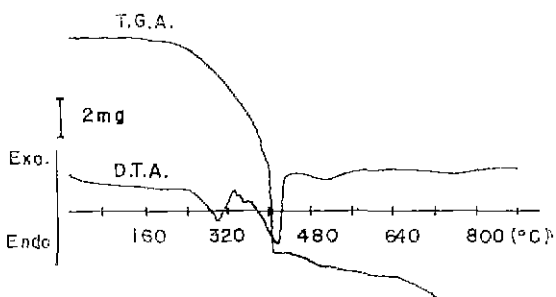


Fig. 9 DTA and TGA curves of precipitate.

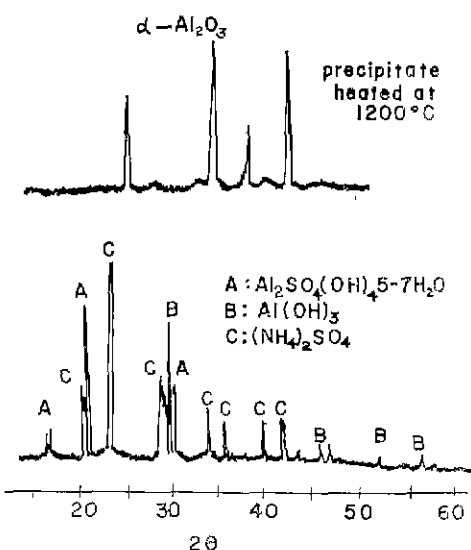


Fig. 10 X-ray diffraction patterns of precipitate and calcined sample at 1200°C.

Fig. 9에서 침전물의 가열감량은 약 80%를 나타내고 있으며, Fig. 10에서 중화적정하여 얻은 침전물은  $(\text{NH}_4)_2\text{SO}_4$ ,  $\text{Al}_2\text{SO}_4(\text{OH})_4 \cdot 5\sim 7\text{H}_2\text{O}$  및  $\text{Al}(\text{OH})_3$ 의 혼합물로 나타나 있다. 이는 시료중의  $\text{Al}_2\text{O}_3$ 와  $\text{H}_2\text{SO}_4$ 의反應盤論式에서 황산 Aluminium 염으로 반응후 더 반응된  $\text{H}_2\text{SO}_4$ 가 다량 남게 되며 이러한 여분의  $\text{H}_2\text{SO}_4$ 가 중화적정시  $\text{NH}_4\text{OH}$ 와 반응하여  $(\text{NH}_4)_2\text{SO}_4$ 가 황산 aluminium 염에 비해 다량 생성될 것으로 생각된다. 1200°C로 가열된 것은  $\alpha\text{-Al}_2\text{O}_3$ 로 확인되었다.

#### 4. 결 론

Kaolin을 하소시킨 후  $\text{H}_2\text{SO}_4$ 의 농도, 산처리 온도 및 산처리 시간을 변화 시켜가면서  $\text{Al}_2\text{O}_3$  용출 실험을 행한 결과는 다음과 같다.

1. kaolin의 적격 하소온도는 800~860°C였다.
2.  $\text{Al}_2\text{O}_3$ 의 용출조건은,  $\text{H}_2\text{SO}_4$ 의 농도는 40%, 산처리 온도는 80°C, 산처리 시간은 2~3시간 일때가 가장 적당하였다.
3. 중화적정 후의 침전물은  $(\text{NH}_4)_2\text{SO}_4$ ,  $\text{Al}_2\text{SO}_4(\text{OH})_4 \cdot 5\sim 7\text{H}_2\text{O}$  및  $\text{Al}(\text{OH})_3$ 의 혼합물이었다.
4. 침전물을 1200°C에서 하소하여  $\alpha\text{-Al}_2\text{O}_3$ 를 얻을 수 있었다.

#### 참 고 문 헌

1. W. H. Gitzel, "Alumina as a ceramic material", American Ceramic Society, Special Publication No. 4 (1970)
2. W. E. Worrall, "Raw Materials" p. 93, Maclaren and Sons London, 1964.
3. 吉木文平, "礦物工學" p. 184-186, 殿報堂.
4. " " " p. 174, "
5. JIS (R 3501-1953)
6. 朱忠烈, "分析化學", p. 290, 豊雪出版社, 1973.
7. 李鍾根, "窯業原料學" p. 38, 進明文化社, 1977.
8. J. F. Duncan, K. J. D. Mackenzie, "Kinetics and Mechanism of High-Temperature Reaction of Kaolinite Minerals" *J. Am. Ceram. Soc.*, 52(2) 1969.
9. A. J. Leonard "Structure Analysis of the transition phases in the Kaolinite-Mullite thermal sequence" *J. Am. Ceram. Soc.*, 60, 1-2, 1977.
10. Gordon M. Barrow "Physical Chemistry" 3rd Ed., p49. 1975
11. Octave Levenspiel, "Chemical Reaction Engineering 2nd Ed.", p21, 28 1975
12. 崔錫珍外 "國內產 高嶺土로 부터 活性 알루미나의 製造" 全南大. 脣媒研究所 論文集 Vol 1, 47-58. 1979.